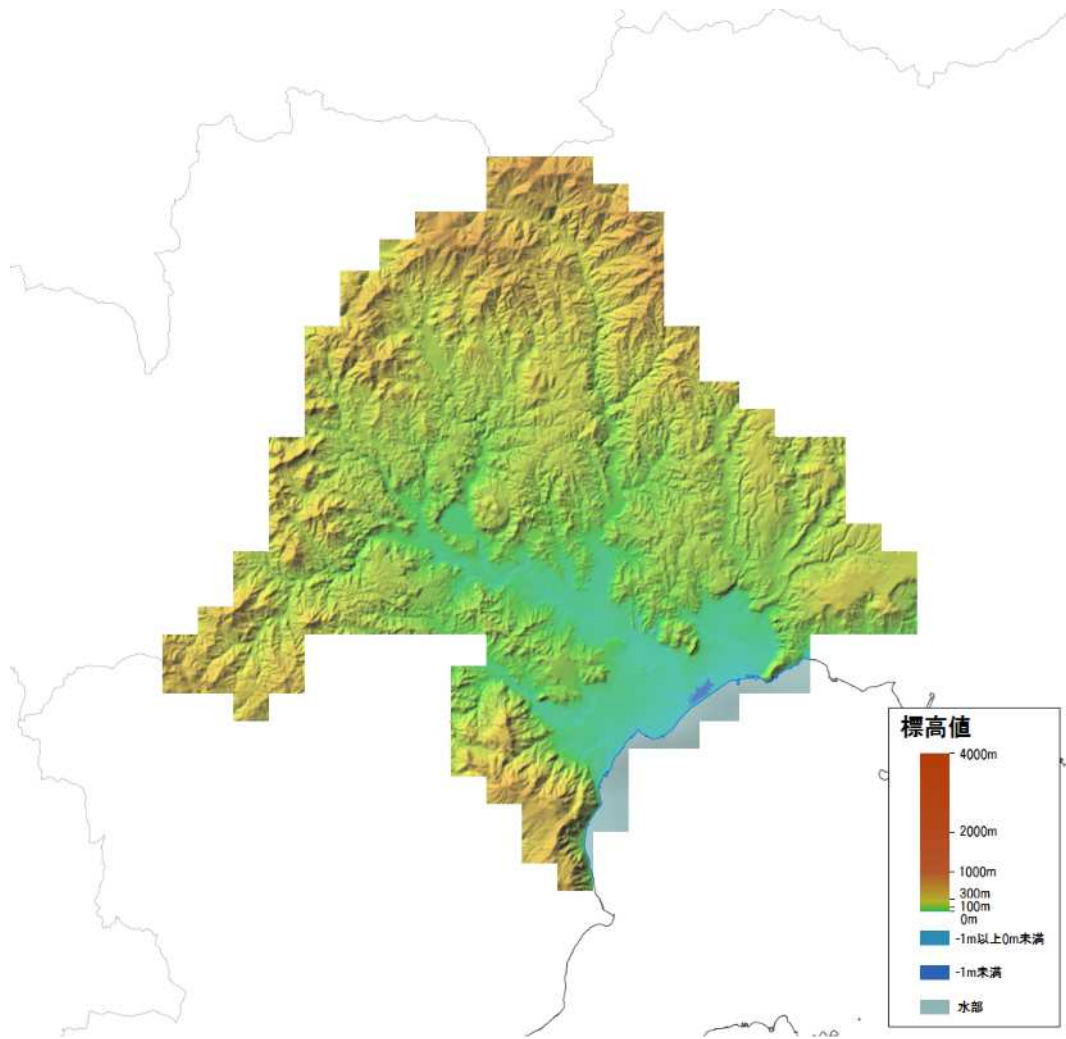


# 始良市



地形図 (始良市)

(出典)

<https://maps.gsi.go.jp/development/ichiran.html#relief>

自然的条件に関連する統計値は以下のとおりです。

- 森林面積: 15,049.0 m<sup>2</sup> (2015年) (始良市)
- 自然災害によるり災者数: 211 人 (2019年) (鹿児島県)
- 主要湖沼面積: 0 ha (2019年) (始良市)
- 年平均相対湿度: 73.0 % (2020年) (鹿児島県)
- 日照時間(年間): 2,041.4 時間 (2020年) (鹿児島県)

(出典)

統計ダッシュボード (<https://dashboard.e-stat.go.jp/>)

## 人口推移

始良市の人口は2020年度時点で約7.6万人、15歳未満人口は10,978人（14.5%）、15～64歳人口は40,949人（54.0%）、65歳以上人口は23,946人（31.6%）となっています。

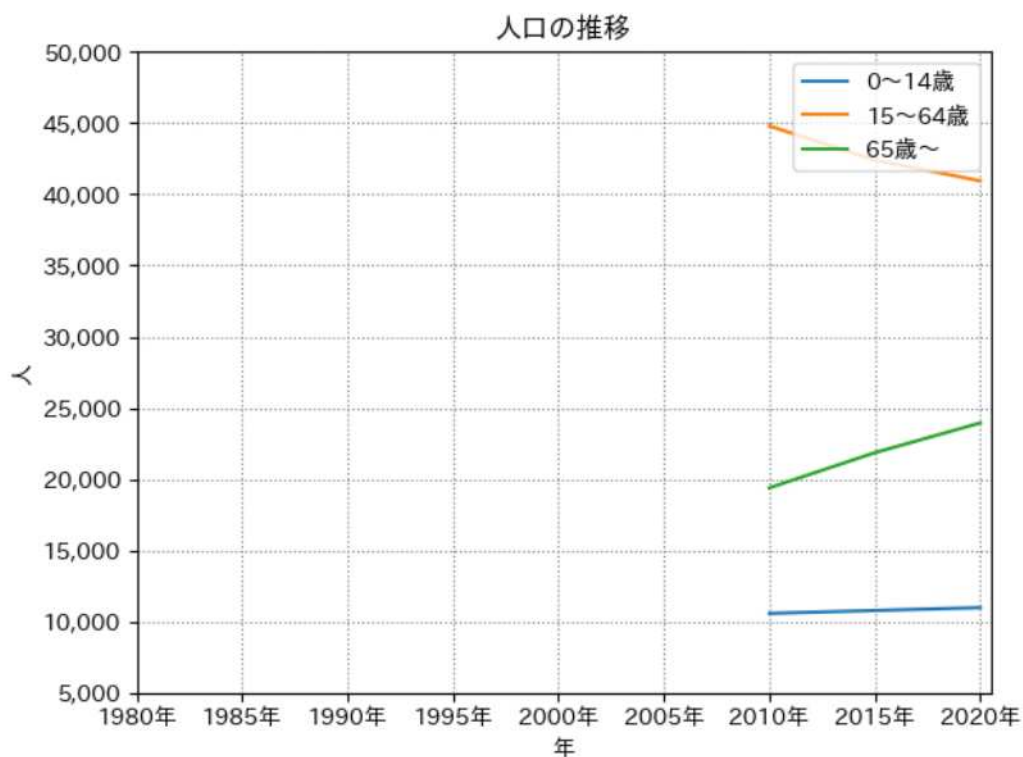
近年の人口は、ほぼ横ばいの傾向となっています。

65歳以上の人口の増加率は高く、2015年度から2020年度までの間の増加率は9%でした。

※ 上記では近年の人口の傾向について、増減率が2%以下の場合には「ほぼ横ばいの傾向」、それ以上の増減があった場合は「増加傾向」、「減少傾向」と表現しています。

(出典)

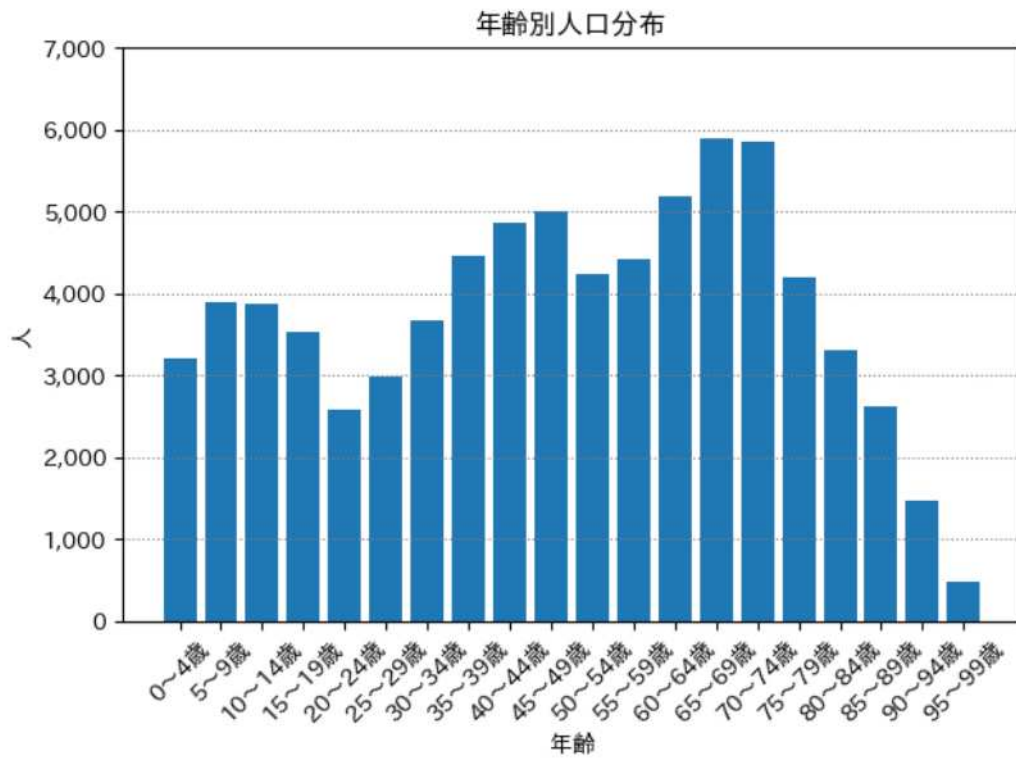
統計ダッシュボード (<https://dashboard.e-stat.go.jp/>)



人口の推移 (始良市)

(出典)

統計ダッシュボード (<https://dashboard.e-stat.go.jp/>)



年齢別人口分布 (始良市)

(出典)

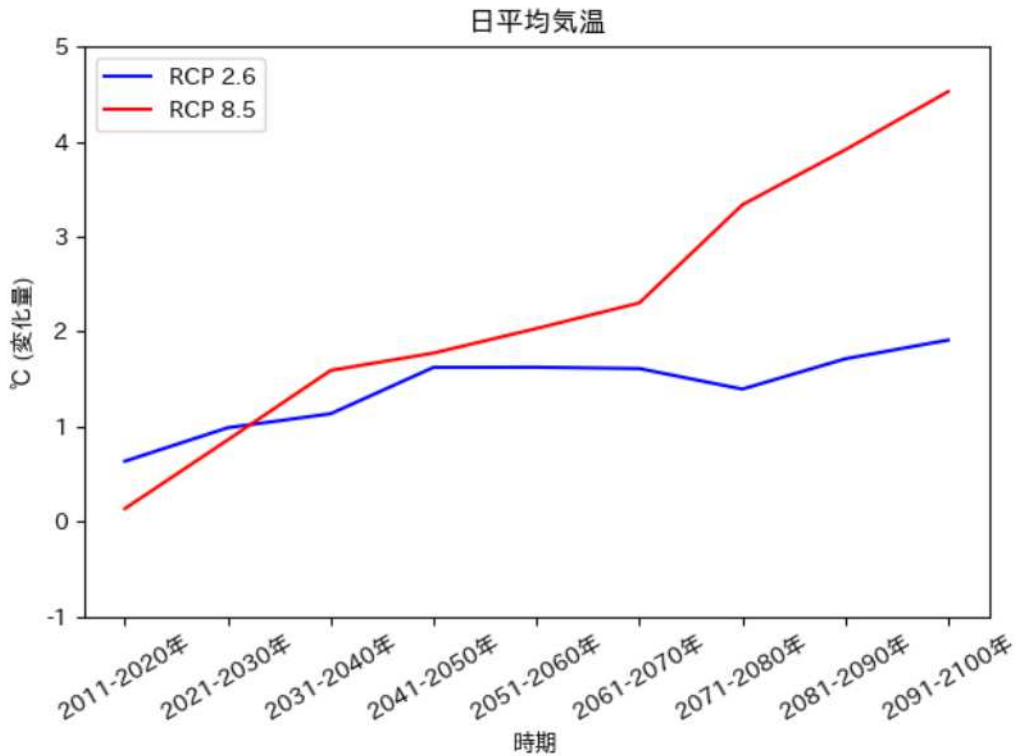
統計ダッシュボード (<https://dashboard.e-stat.go.jp/>)

# 1.1 将来の始良市の気候・気象の変化

## 1.1.1 気温

### (1) 年平均気温

始良市では、厳しい温暖化対策をとらない場合(RCP8.5シナリオ)、21世紀末(2081年～2100年)には現在(1981年～2000年)よりも年平均気温が約4.5℃高くなると予測されています。パリ協定の「2℃目標」が達成された状況下であり得るシナリオ(RCP2.6シナリオ)では、21世紀末(2081年～2100年)には現在(1981年～2000年)よりも年平均気温が約1.9℃高くなると予測されています。



日平均気温の推移予測 (始良市)

(出典)

以下を基にした A-PLAT WebGISデータ

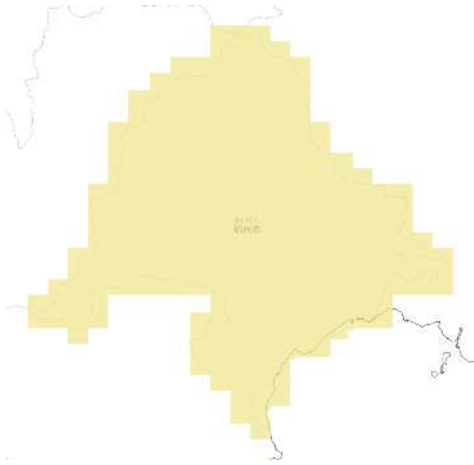
石崎 紀子 (2020). CMIP5 をベースにした CDFDM 手法による日本域バイアス補正気候シナリオデータ, Ver.201909, 国立環境研究所 地球環境研究センター, doi:10.17595/20200415.001.



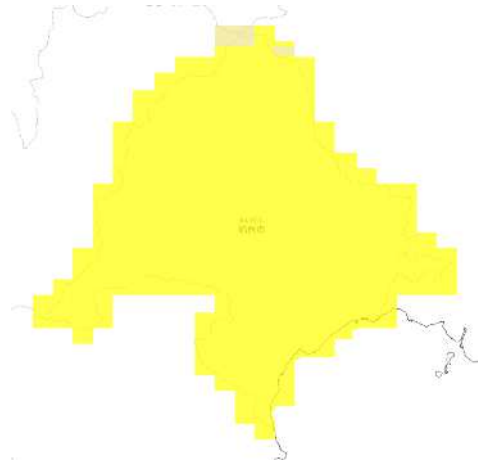
RCP 2.6 2011-2020年



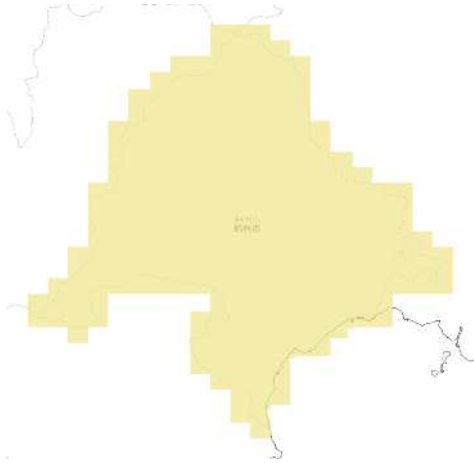
RCP 8.5 2011-2020年



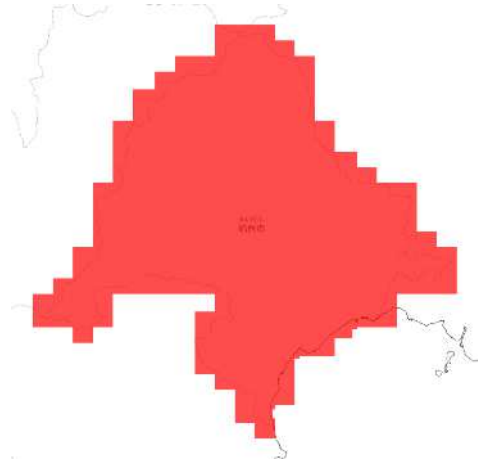
RCP 2.6 2051-2060年



RCP 8.5 2051-2060年



RCP 2.6 2091-2100年



RCP 8.5 2091-2100年

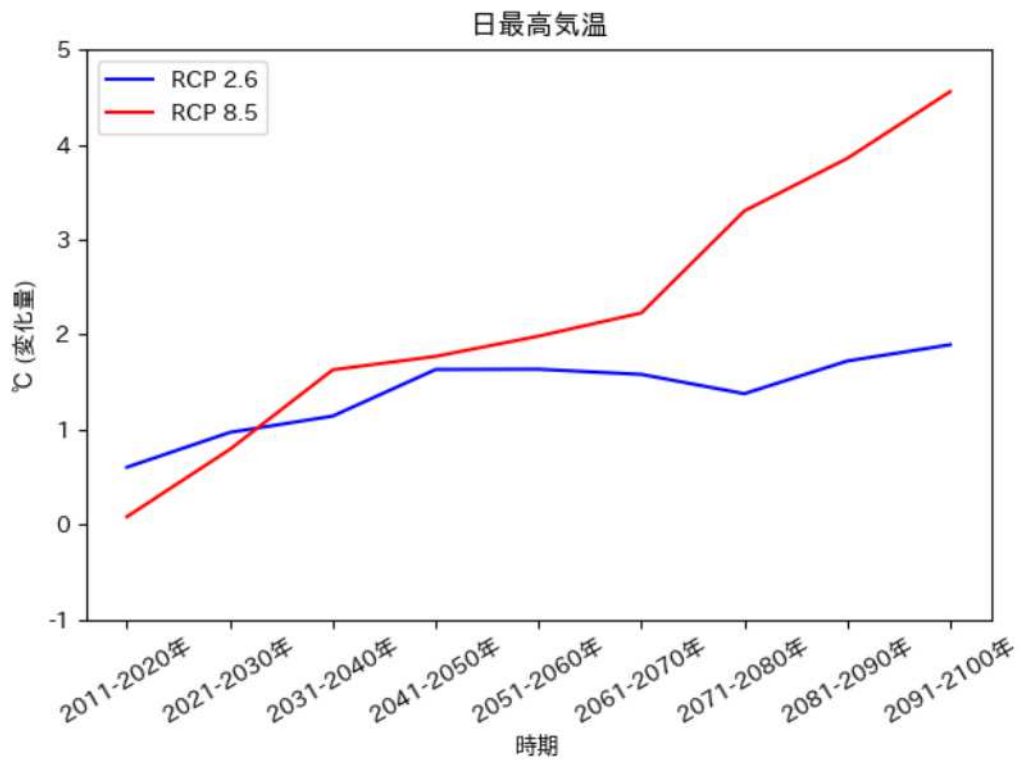
日平均気温 基準期間との差



(出典)

以下を基にした A-PLAT WebGISデータ

石崎 紀子 (2020). CMIP5 をベースにした CDFDM 手法による日本域バイアス補正気候シナリオデータ, Ver.201909, 国立環境研究所 地球環境研究センター, doi:10.17595/20200415.001.



日最高気温の推移予測 (始良市)

(出典)

以下を基にした A-PLAT WebGISデータ

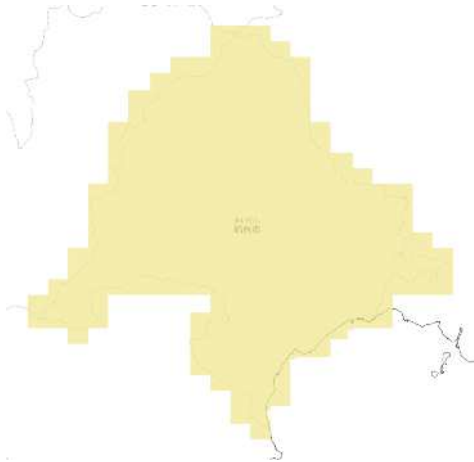
石崎 紀子 (2020). CMIP5 をベースにした CDFDM 手法による日本域バイアス補正気候シナリオデータ, Ver.201909, 国立環境研究所 地球環境研究センター, doi:10.17595/20200415.001.



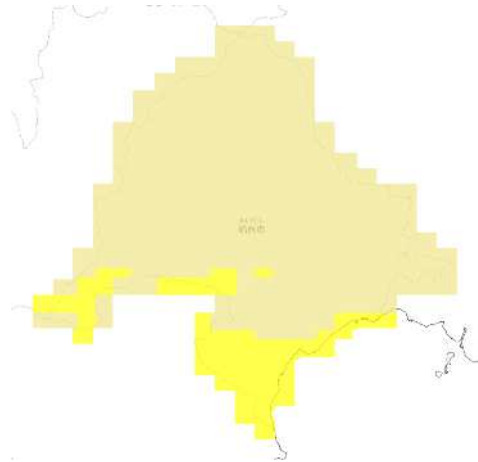
RCP 2.6 2011-2020年



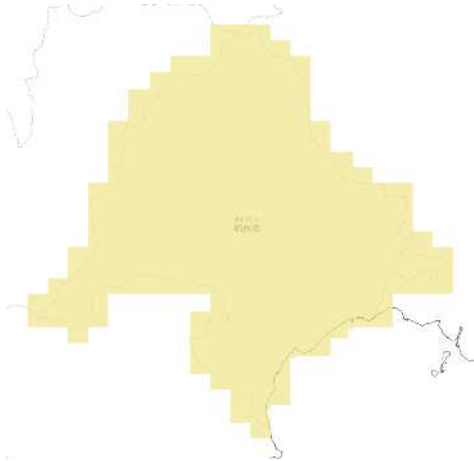
RCP 8.5 2011-2020年



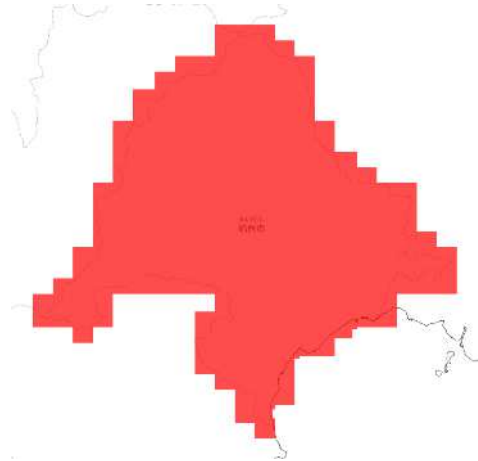
RCP 2.6 2051-2060年



RCP 8.5 2051-2060年



RCP 2.6 2091-2100年



RCP 8.5 2091-2100年

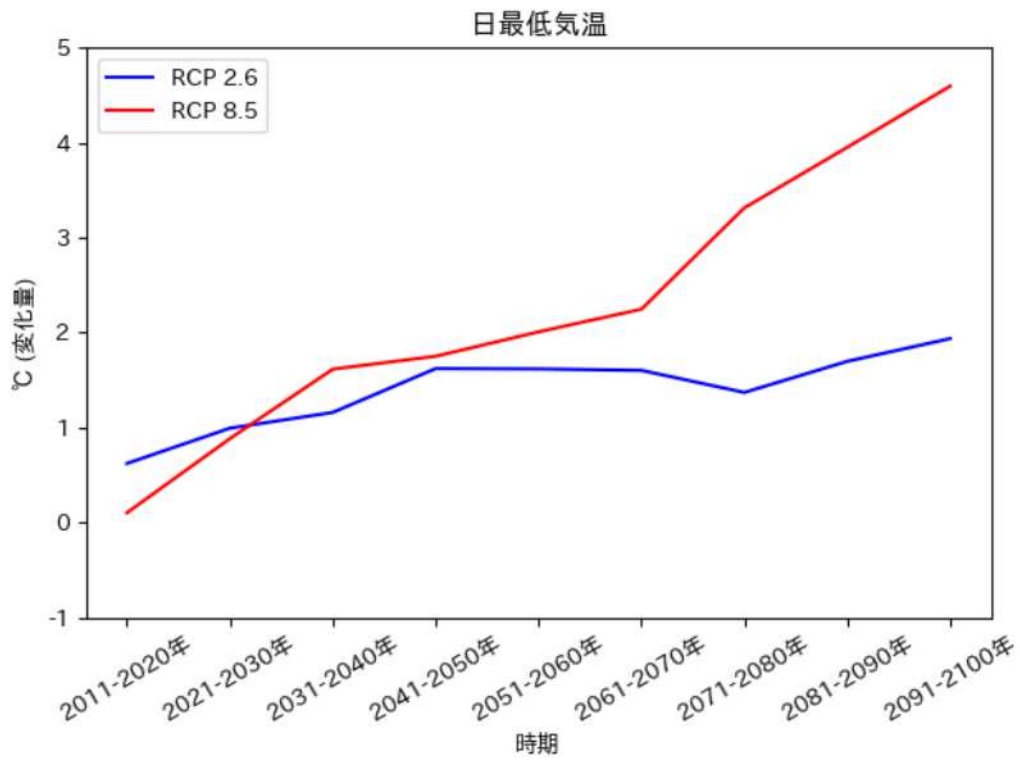
日最高気温 基準期間との差



(出典)

以下を基にした A-PLAT WebGISデータ

石崎 紀子 (2020). CMIP5 をベースにした CDFDM 手法による日本域バイアス補正気候シナリオデータ, Ver.201909, 国立環境研究所 地球環境研究センター, doi:10.17595/20200415.001.



日最低气温の推移予測 (始良市)

(出典)

以下を基にした A-PLAT WebGISデータ

石崎 紀子 (2020). CMIP5 をベースにした CDFDM 手法による日本域バイアス補正気候シナリオデータ, Ver.201909, 国立環境研究所 地球環境研究センター, doi:10.17595/20200415.001.

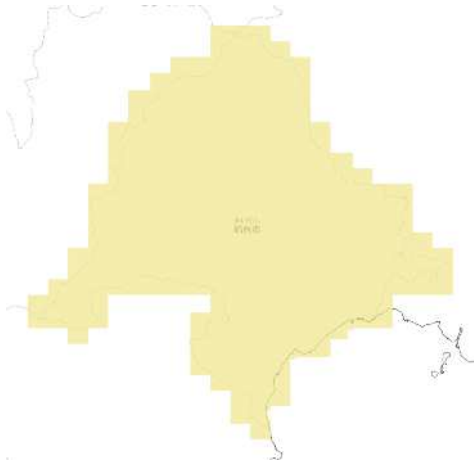




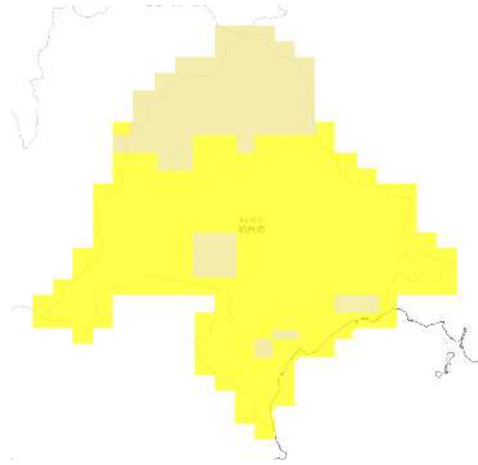
RCP 2.6 2011-2020年



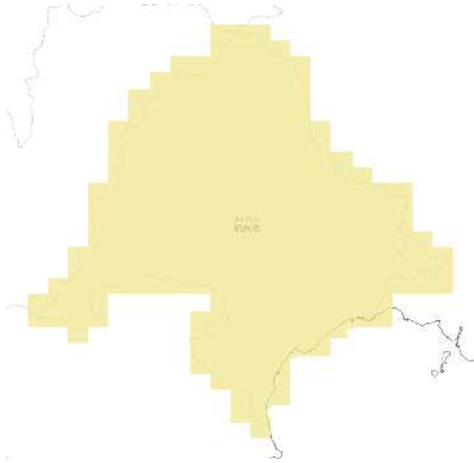
RCP 8.5 2011-2020年



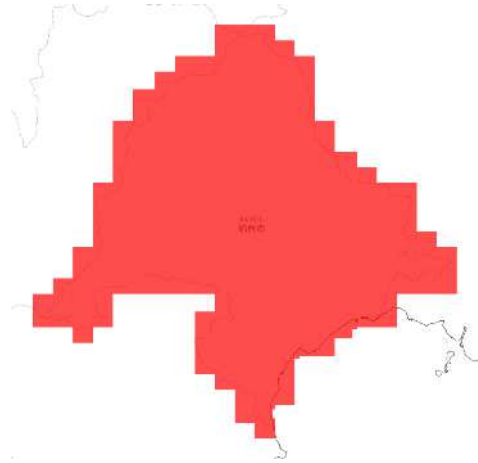
RCP 2.6 2051-2060年



RCP 8.5 2051-2060年



RCP 2.6 2091-2100年



RCP 8.5 2091-2100年

日最低気温 基準期間との差

(出典)

以下を基にした A-PLAT WebGISデータ

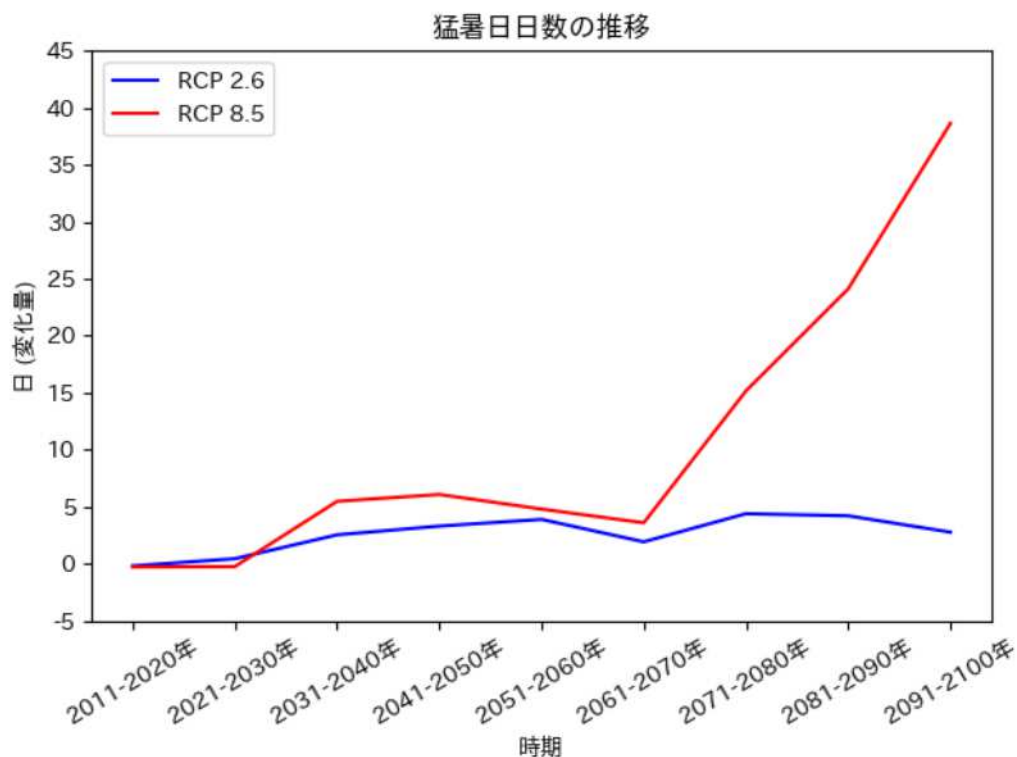
石崎 紀子 (2020). CMIP5 をベースにした CDFDM 手法による日本域バイアス補正気候シナリオデータ, Ver.201909, 国立環境研究所 地球環境研究センター, doi:10.17595/20200415.001.



## 1. 真夏日・猛暑日、冬日・真冬日

始良市では、厳しい温暖化対策をとらない場合(RCP8.5シナリオ)、基準年(1981~2000年の平均)と比べ猛暑日が100年間で年間約31日増加、真夏日が約72日増加すると予測されています。パリ協定の「2℃目標」が達成された状況下であり得るシナリオ(RCP2.6シナリオ)では、猛暑日が100年間で年間約3日増加、真夏日が約26日増加すると予測されています。

※ 100年後の値は2081~2090、2091~2100年の平均を用いています。

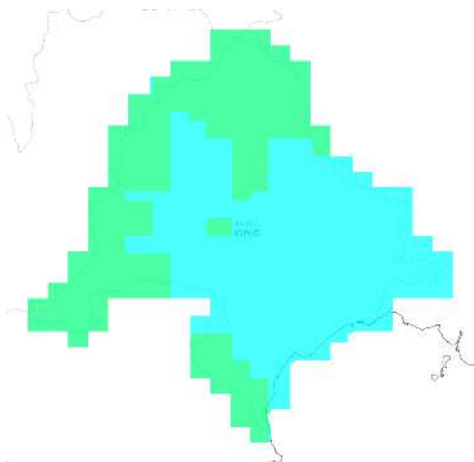


猛暑日の推移予測 (始良市)

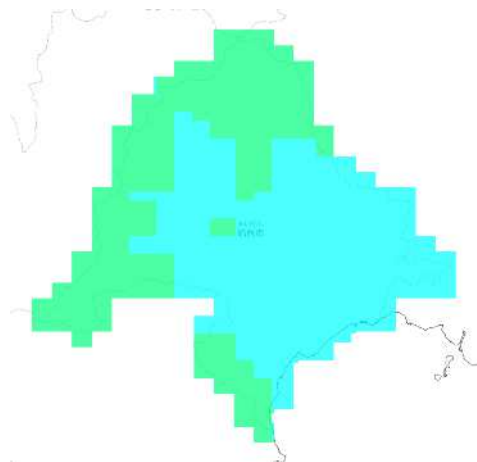
(出典)

以下を基にした A-PLAT WebGISデータ

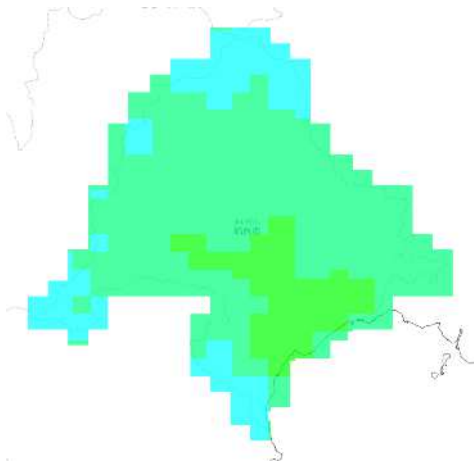
石崎 紀子 (2020). CMIP5 をベースにした CDFDM 手法による日本域バイアス補正気候シナリオデータ, Ver.201909, 国立環境研究所 地球環境研究センター, doi:10.17595/20200415.001.



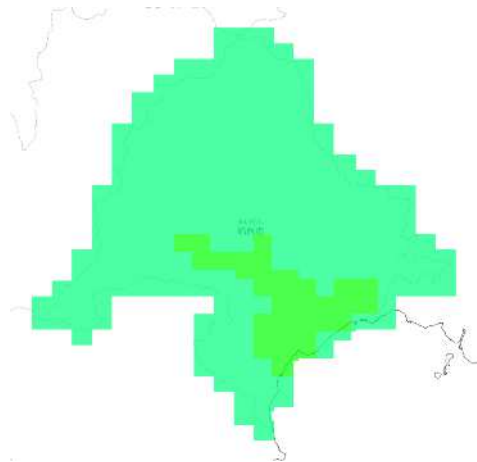
RCP 2.6 2011-2020年



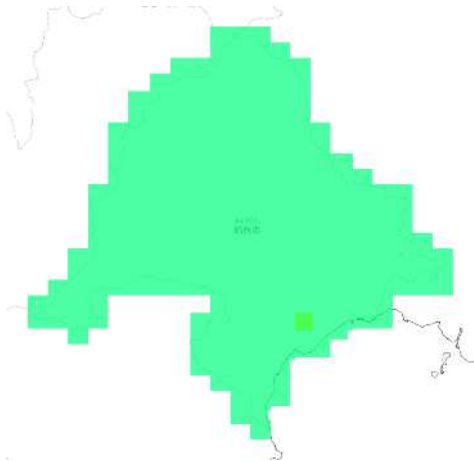
RCP 8.5 2011-2020年



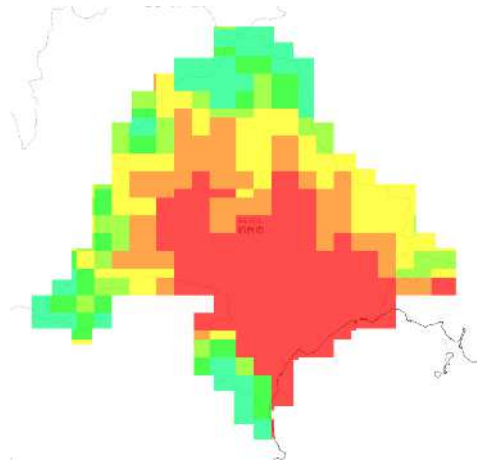
RCP 2.6 2051-2060年



RCP 8.5 2051-2060年

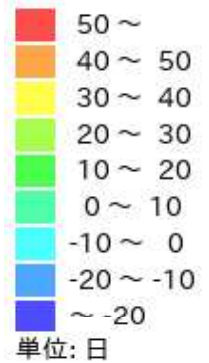


RCP 2.6 2091-2100年



RCP 8.5 2091-2100年

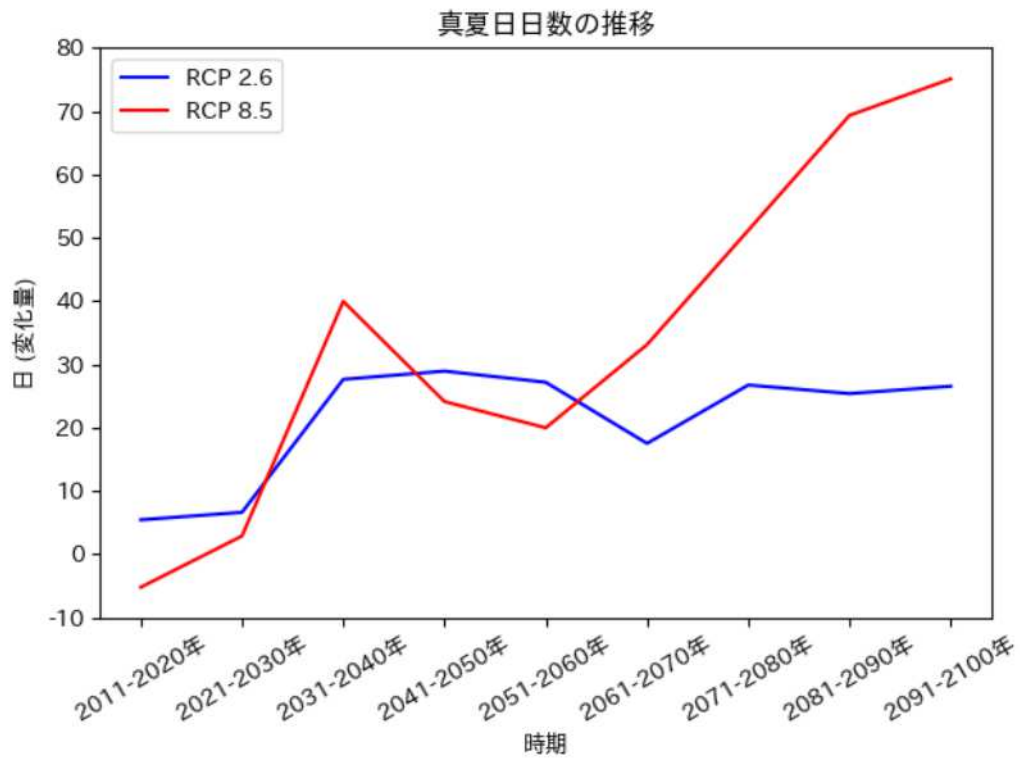
猛暑日 基準期間との差



(出典)

以下を基にした A-PLAT WebGISデータ

石崎 紀子 (2020). CMIP5 をベースにした CDFDM 手法による日本域バイアス補正気候シナリオデータ, Ver.201909, 国立環境研究所 地球環境研究センター, doi:10.17595/20200415.001.

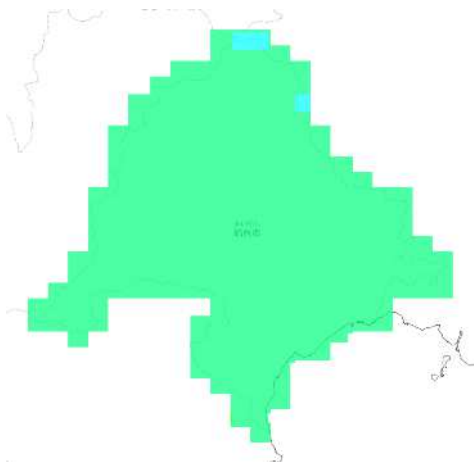


真夏日の推移予測 (始良市)

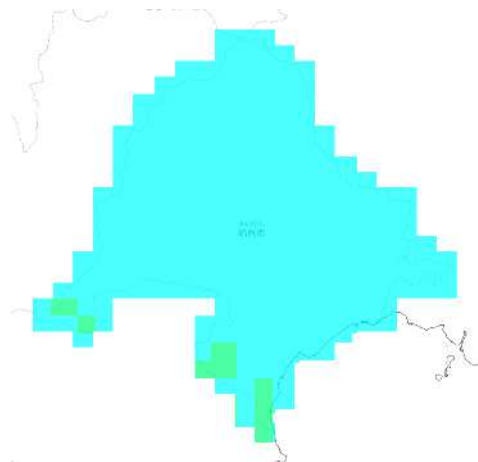
(出典)

以下を基にした A-PLAT WebGISデータ

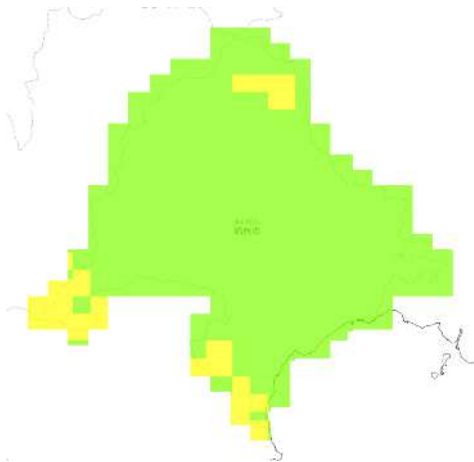
石崎 紀子 (2020). CMIP5 をベースにした CDFDM 手法による日本域バイアス補正気候シナリオデータ, Ver.201909, 国立環境研究所 地球環境研究センター, doi:10.17595/20200415.001.



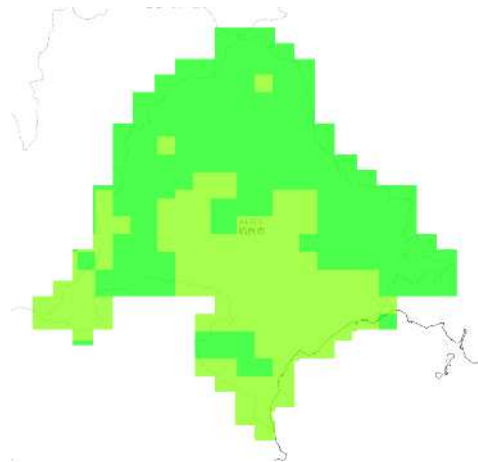
RCP 2.6 2011-2020年



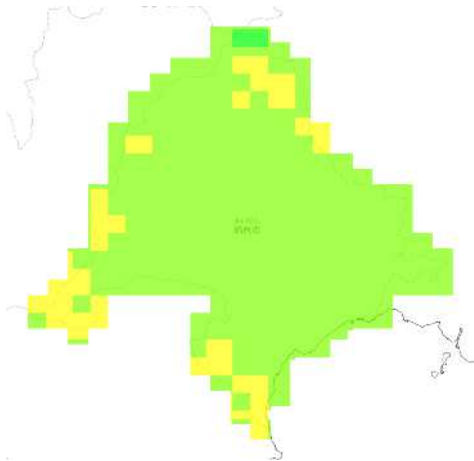
RCP 8.5 2011-2020年



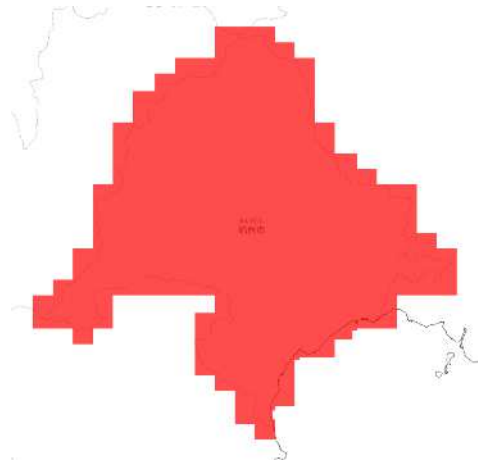
RCP 2.6 2051-2060年



RCP 8.5 2051-2060年

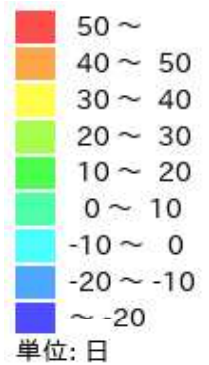


RCP 2.6 2091-2100年



RCP 8.5 2091-2100年

真夏日 基準期間との差



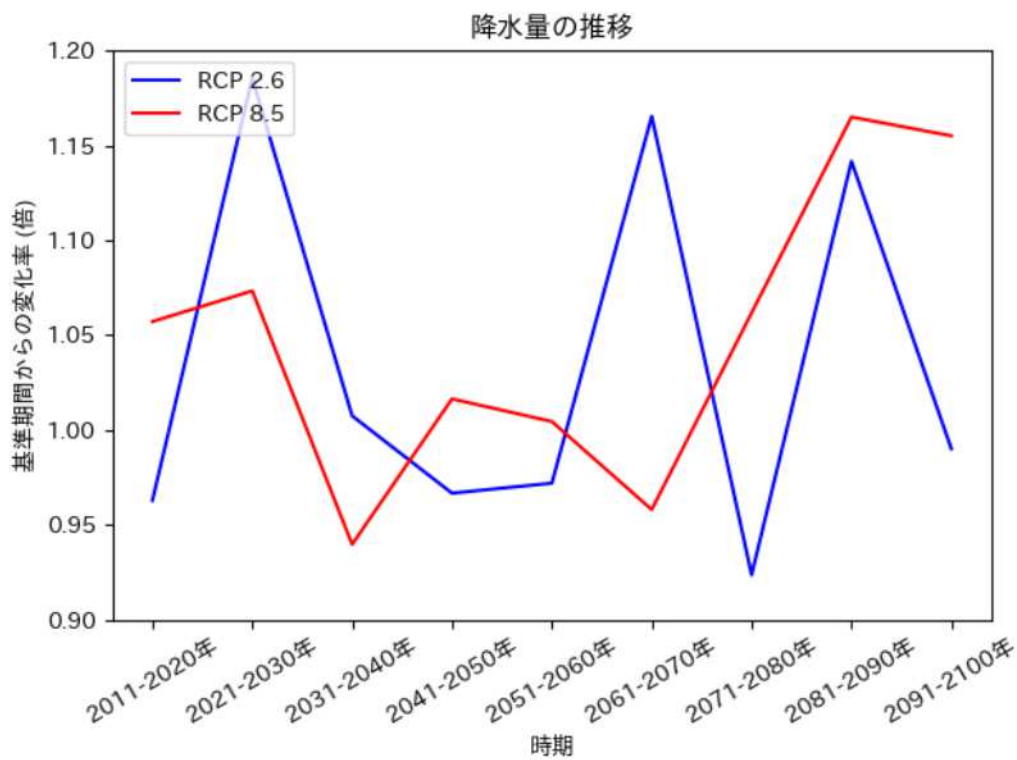
(出典)

以下を基にした A-PLAT WebGISデータ

石崎 紀子 (2020). CMIP5 をベースにした CDFDM 手法による日本域バイアス補正気候シナリオデータ, Ver.201909, 国立環境研究所 地球環境研究センター, doi:10.17595/20200415.001.

## 降水、降雪

始良市では、厳しい温暖化対策をとらない場合(RCP8.5シナリオ)、21世紀末(2081年～2100年)には現在(1981年～2000年)よりも降水量が年間約16%増加、無降水日数が約5日減少すると予測されています。また、降雪量は約37cm減少すると予測されています。パリ協定の「2℃目標」が達成された状況下であり得るシナリオ(RCP2.6シナリオ)では、降水量は約1%減少、無降水日数は約2日増加すると予測されています。また、降雪量は約17cm減少すると予測されています。

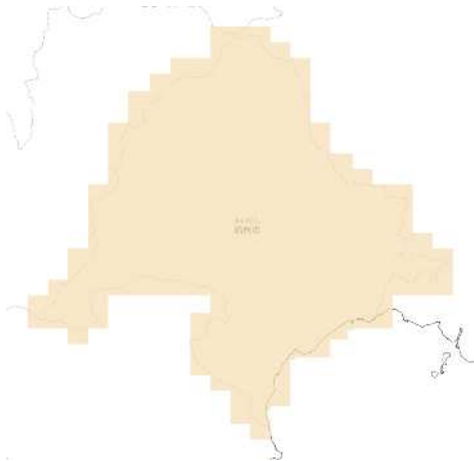


降水量の推移予測 (始良市)

(出典)

以下を基にした A-PLAT WebGISデータ

石崎 紀子 (2020). CMIP5 をベースにした CDFDM 手法による日本域バイアス補正気候シナリオデータ, Ver.201909, 国立環境研究所 地球環境研究センター, doi:10.17595/20200415.001.



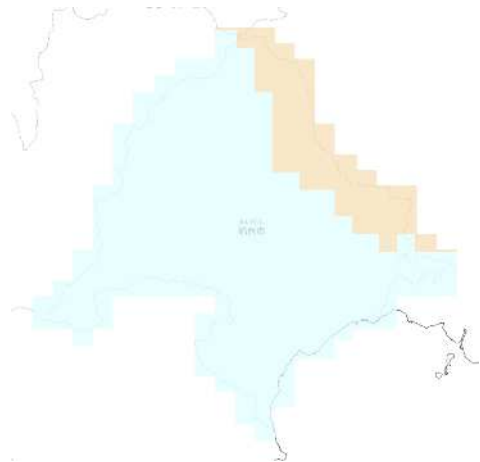
RCP 2.6 2011-2020年



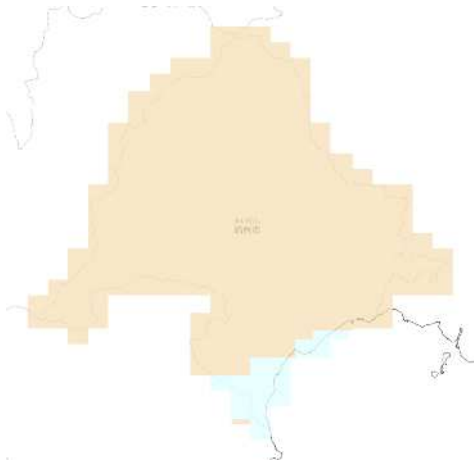
RCP 8.5 2011-2020年



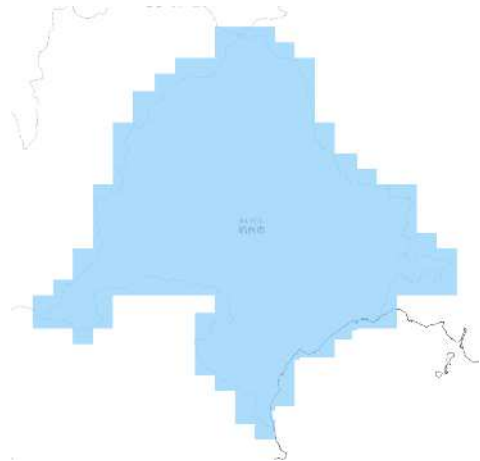
RCP 2.6 2051-2060年



RCP 8.5 2051-2060年

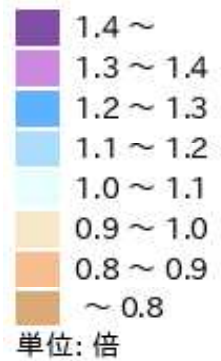


RCP 2.6 2091-2100年



RCP 8.5 2091-2100年

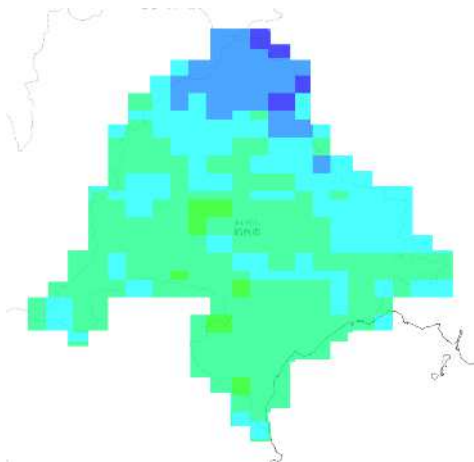
降水量 基準期間との差



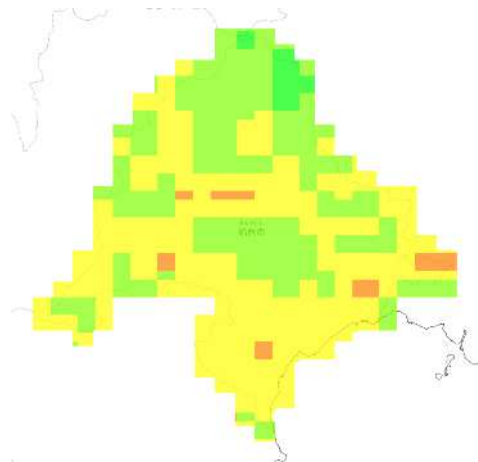
(出典)

以下を基にした A-PLAT WebGISデータ

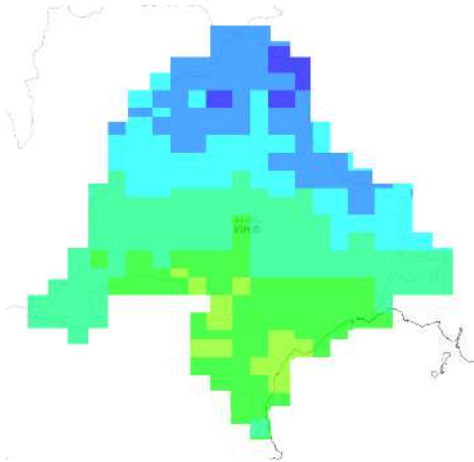
石崎 紀子 (2020). CMIP5 をベースにした CDFDM 手法による日本域バイアス補正気候シナリオデータ, Ver.201909, 国立環境研究所 地球環境研究センター, doi:10.17595/20200415.001.



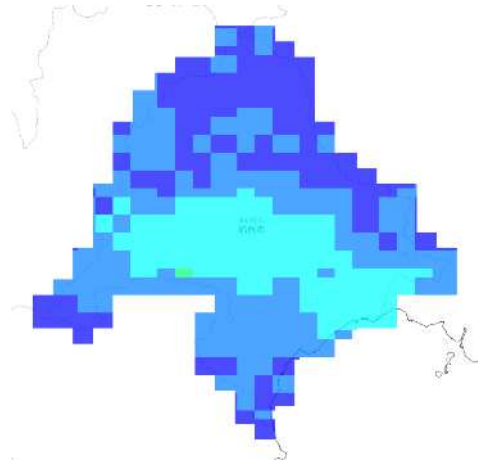
RCP 2.6 2011-2020年



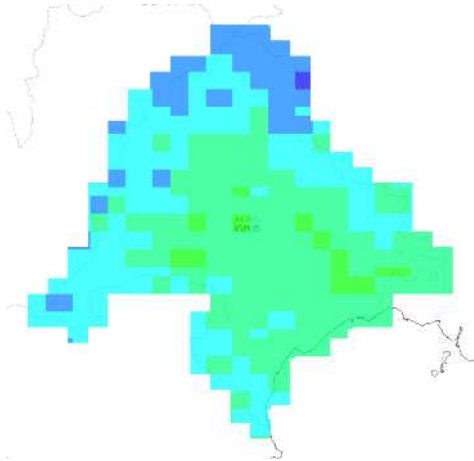
RCP 8.5 2011-2020年



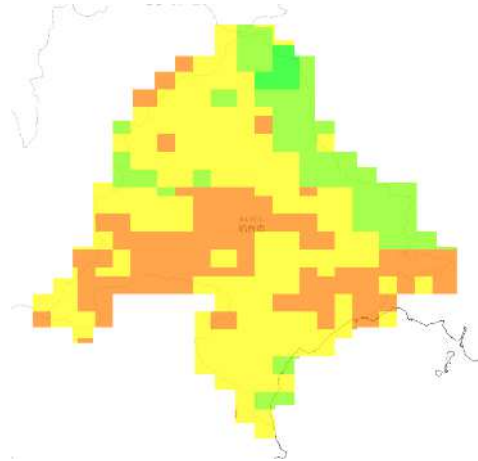
RCP 2.6 2051-2060年



RCP 8.5 2051-2060年

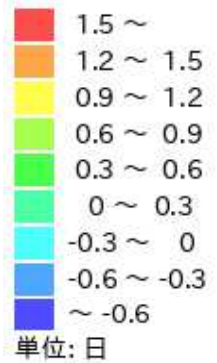


RCP 2.6 2091-2100年



RCP 8.5 2091-2100年

日降水量100mm以上の日数 基準期間との差

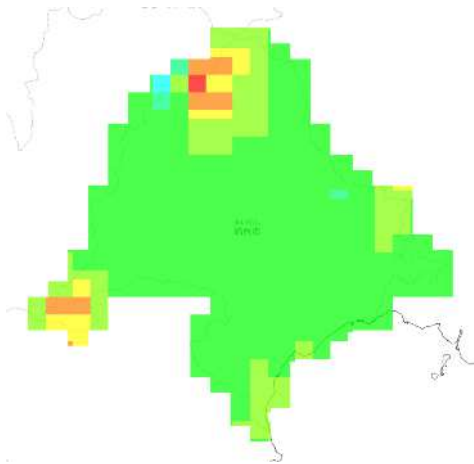


(出典)

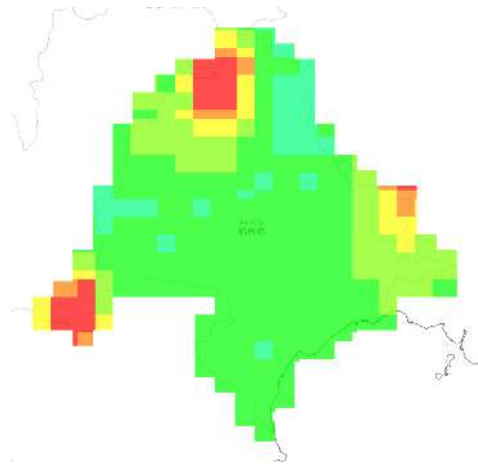
以下を基にした A-PLAT WebGISデータ

石崎 紀子 (2020). CMIP5 をベースにした CDFDM 手法による日本域バイアス補正気候シナリオデータ, Ver.201909, 国立環境研究所 地球環境研究センター, doi:10.17595/20200415.001.

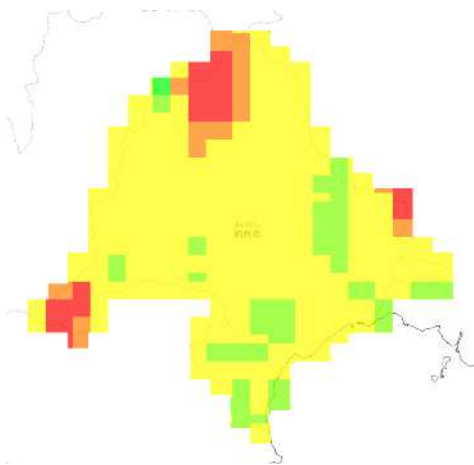




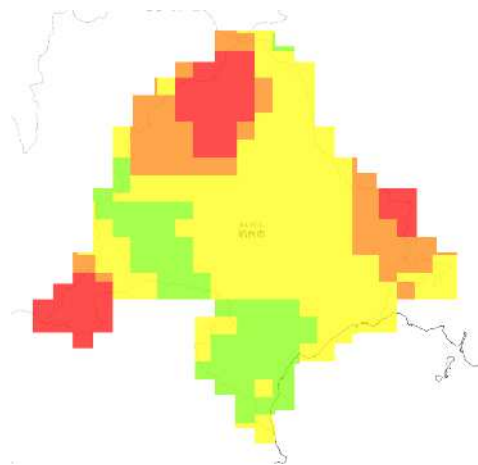
RCP 2.6 2011-2020年



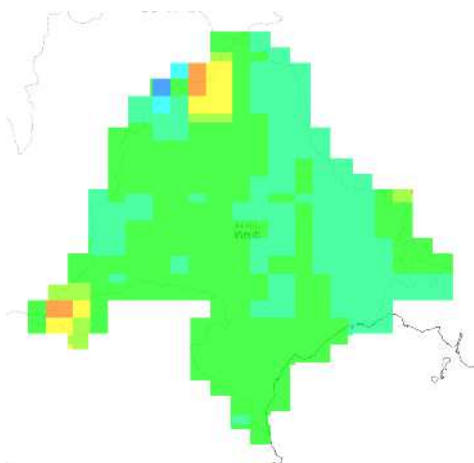
RCP 8.5 2011-2020年



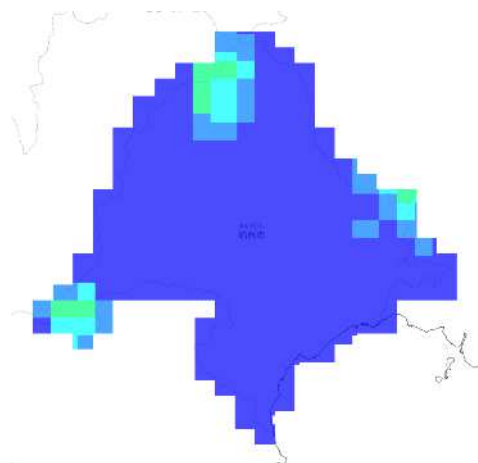
RCP 2.6 2051-2060年



RCP 8.5 2051-2060年

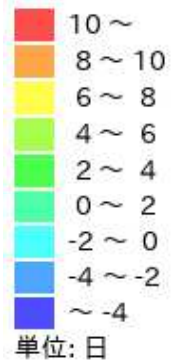


RCP 2.6 2091-2100年



RCP 8.5 2091-2100年

無降水日数 基準期間との差



(出典)

以下を基にした A-PLAT WebGISデータ

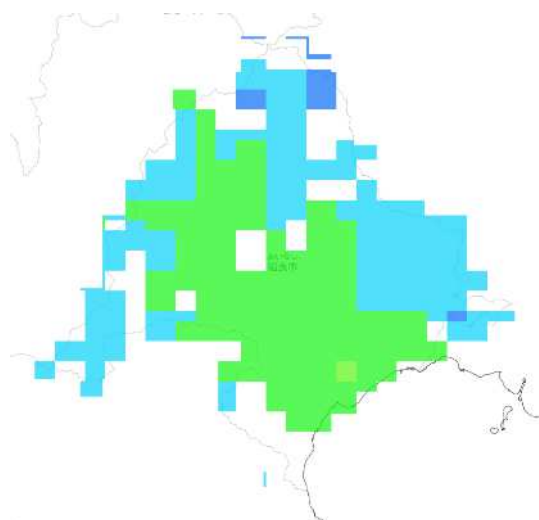
石崎 紀子 (2020). CMIP5 をベースにした CDFDM 手法による日本域バイアス補正気候シナリオデータ, Ver.201909, 国立環境研究所 地球環境研究センター, doi:10.17595/20200415.001.

## 将来の影響

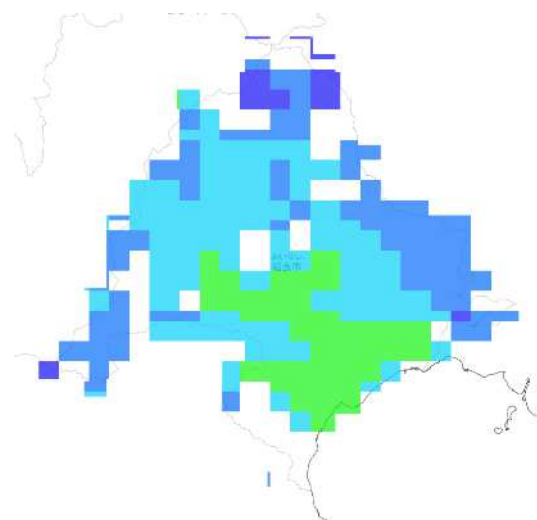
### (1) 農業

#### ① 水稲

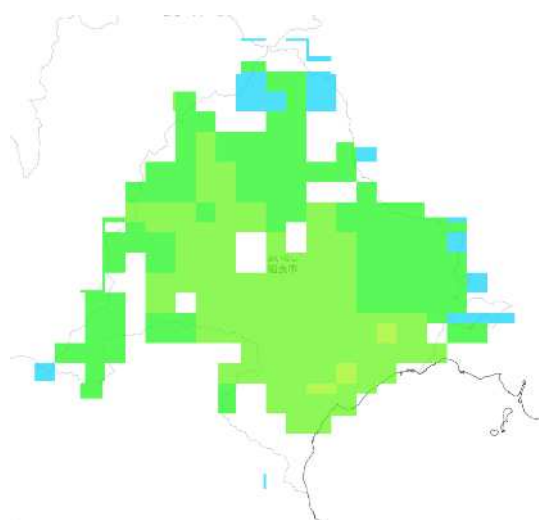
始良市では、最も気候変動が進んだ場合（RCP8.5シナリオ）、21世紀末には現在よりも水稲の収量が約15%増加すると予測されています。



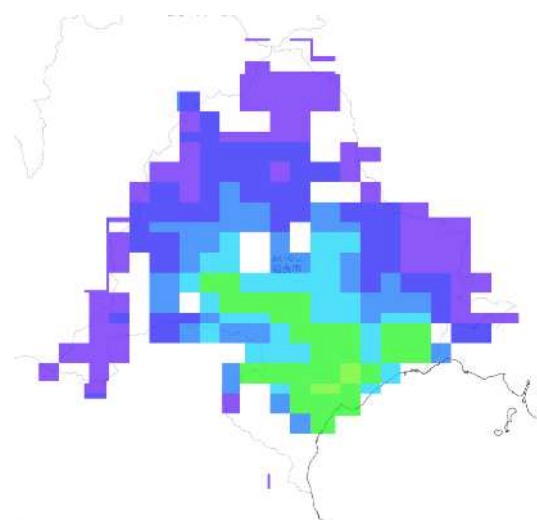
RCP 2.6 21世紀半ば



RCP 8.5 21世紀半ば



RCP 2.6 21世紀末



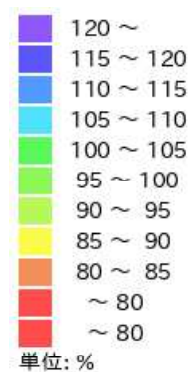
RCP 8.5 21世紀末

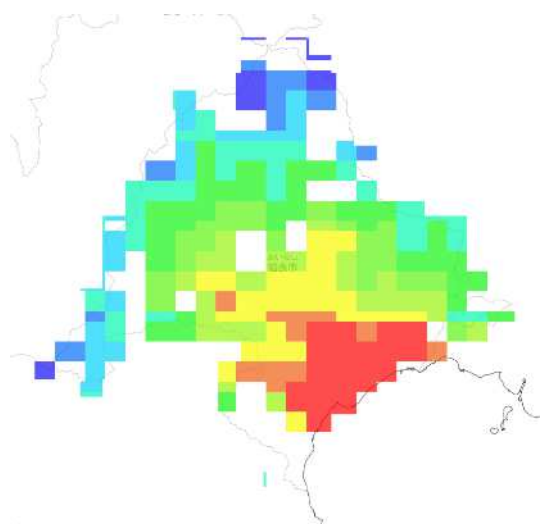
コメ収量 基準期間との比

(出典)

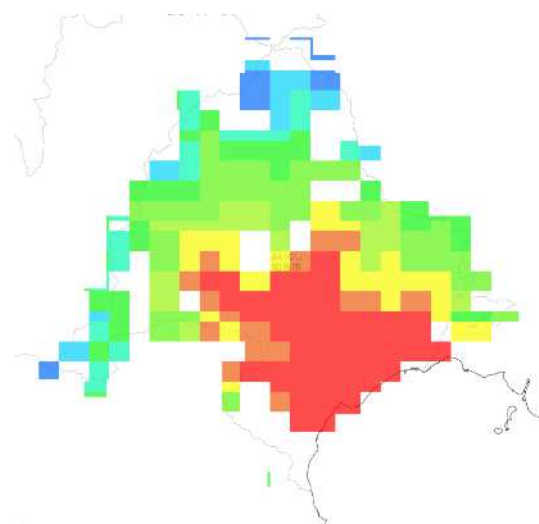
以下を基にした A-PLAT WebGISデータ

<https://adaptation-platform.nies.go.jp/conso/report/O-4.html>

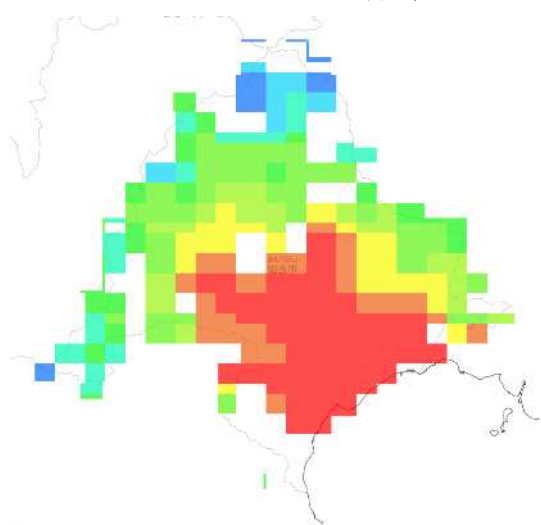




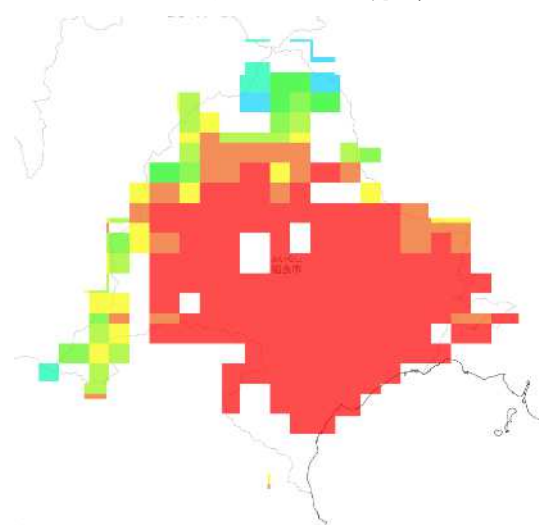
RCP 2.6 21世紀半ば



RCP 8.5 21世紀半ば



RCP 2.6 21世紀末



RCP 8.5 21世紀末

出穂後20日間の日平均気温26℃以上の積算値

コメ品質



コメ品質 凡例

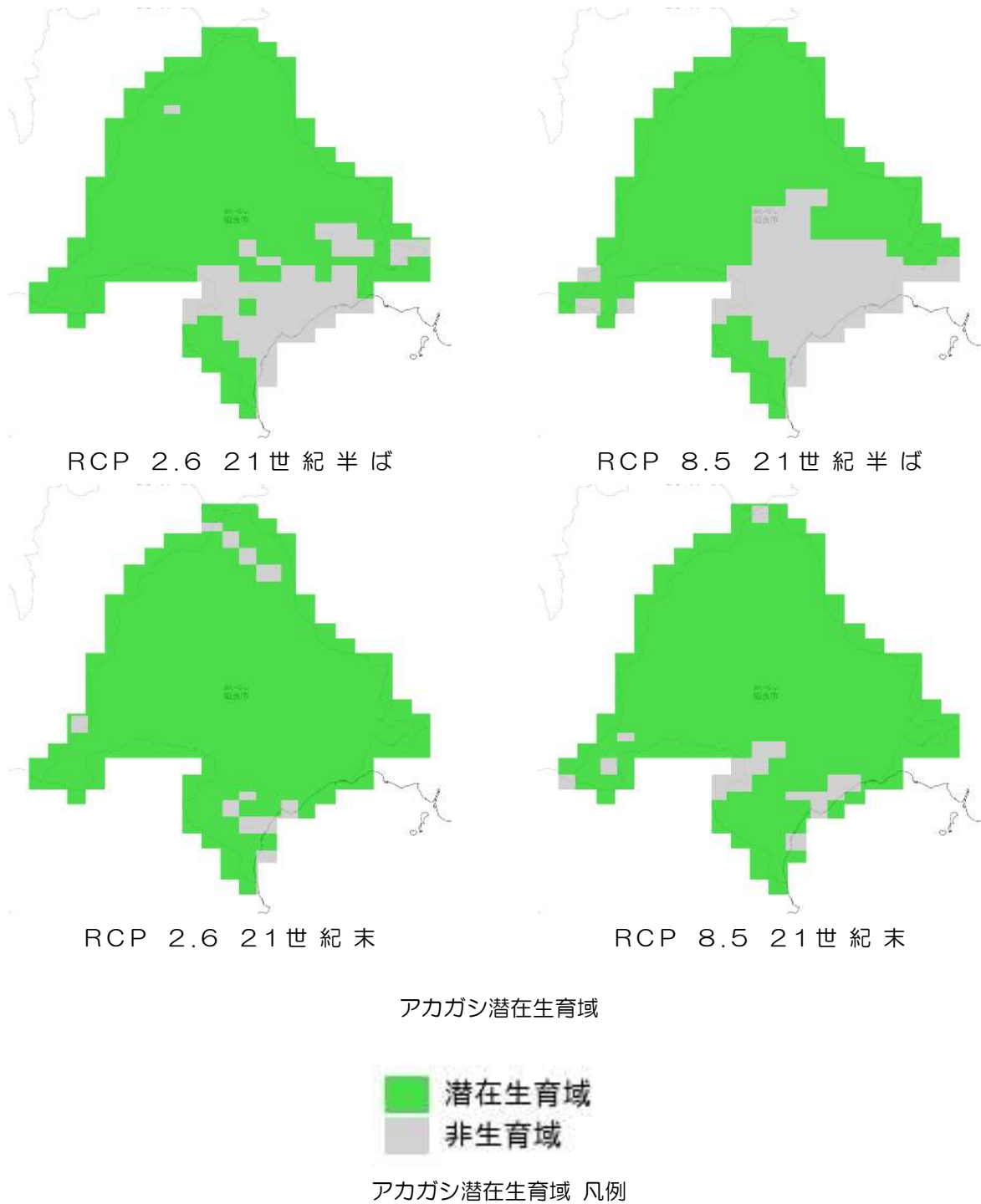
(出典)

以下を基にした A-PLAT WebGISデータ

<https://adaptation-platform.nies.go.jp/conso/report/O-4.html>

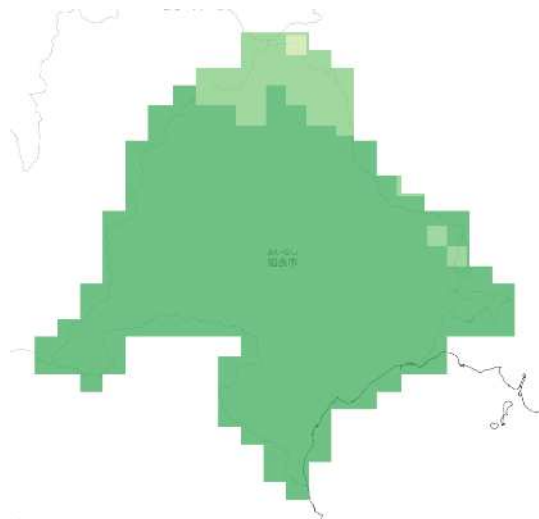
将来の影響

(19) 陸域生態系

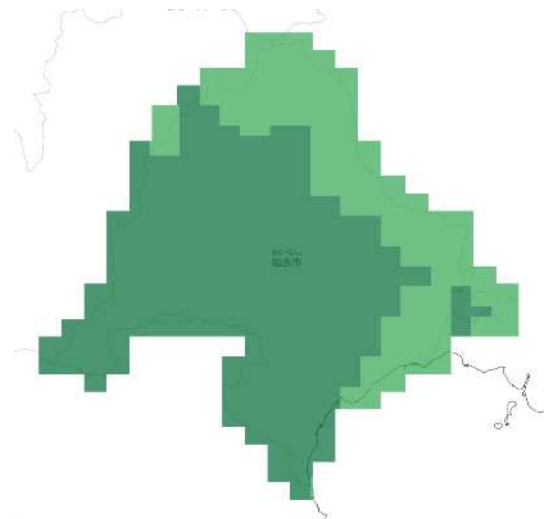


(出典)

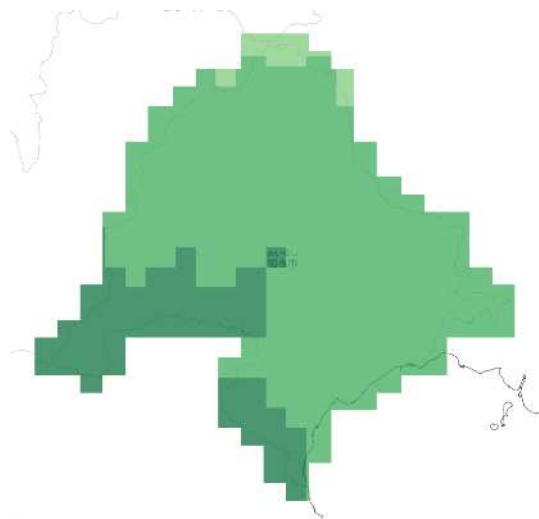
<https://adaptation-platform.nies.go.jp/conso/report/0-6.html>



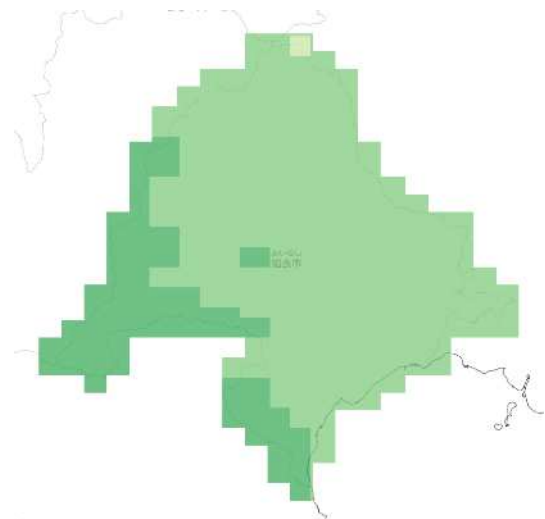
RCP 2.6 21世紀半ば



RCP 8.5 21世紀半ば



RCP 2.6 21世紀末



RCP 8.5 21世紀末

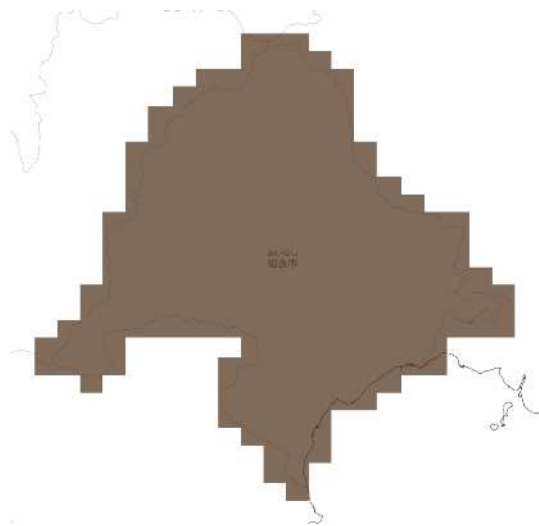
竹林の分布可能域



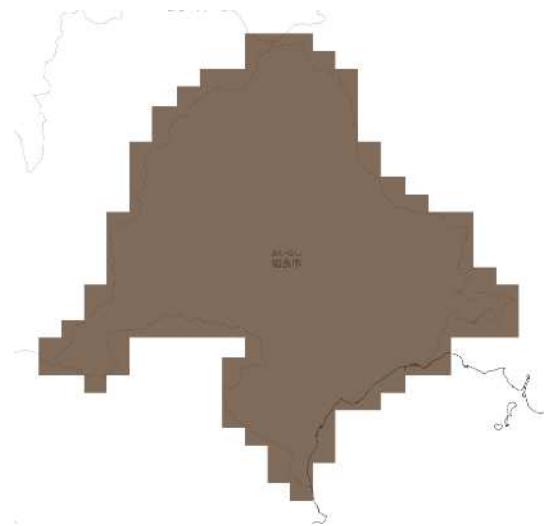
竹林 凡例

(出典)

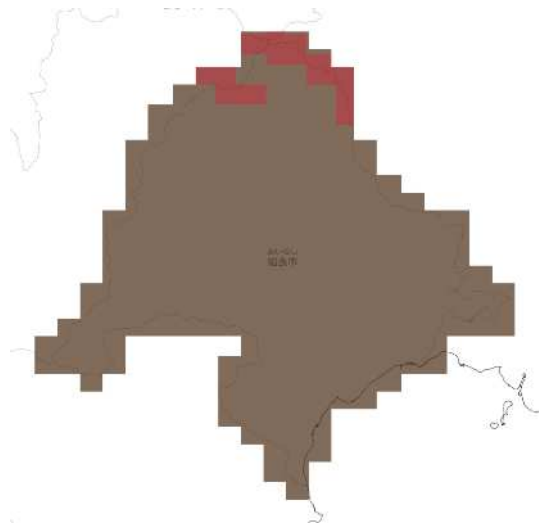
<https://adaptation-platform.nies.go.jp/conso/report/O-6.html>



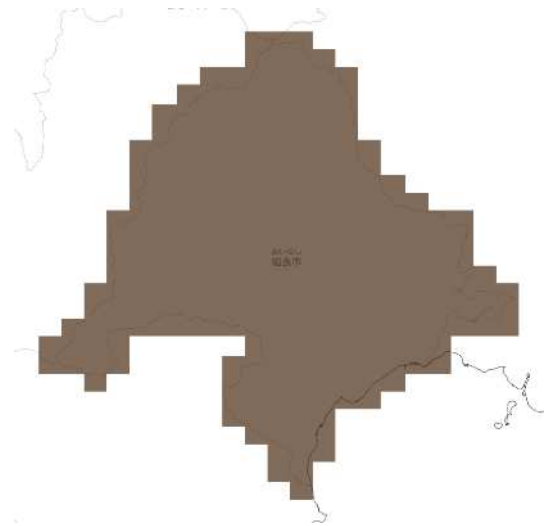
RCP 2.6 21世紀半ば



RCP 8.5 21世紀半ば



RCP 2.6 21世紀末



RCP 8.5 21世紀末

マツ枯れ危険度



マツ枯れ危険度 凡例

(出典)

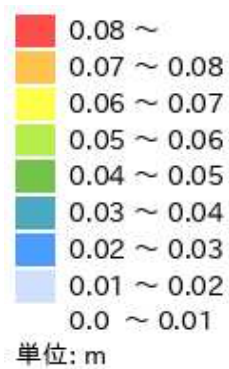
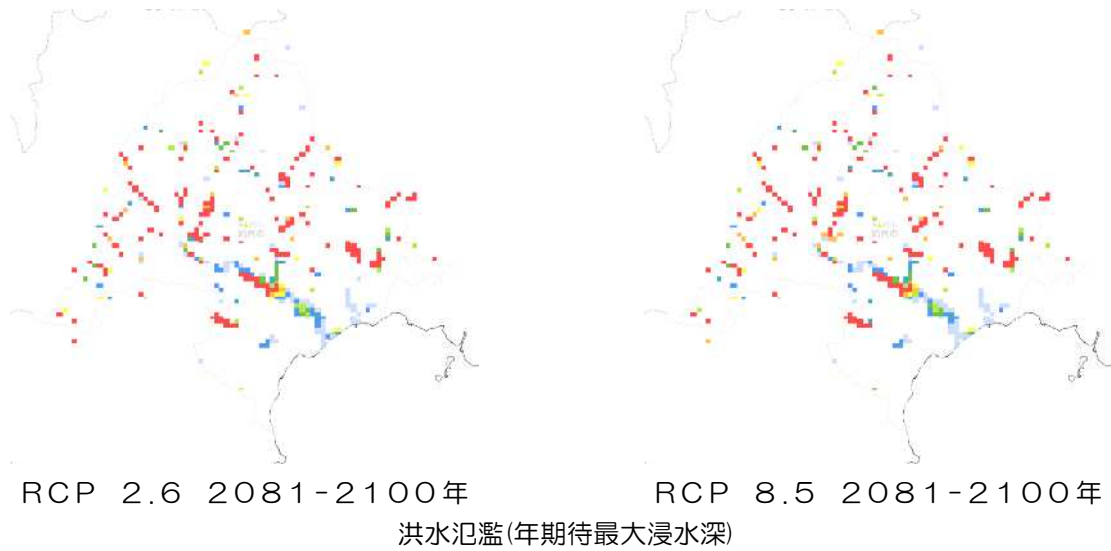
<https://adaptation-platform.nies.go.jp/conso/report/O-6.html>

将来の影響

(1) 河川

① 洪水

洪水について、将来予測される影響を記載します。



洪水氾濫(年期待最大浸水深) 凡例

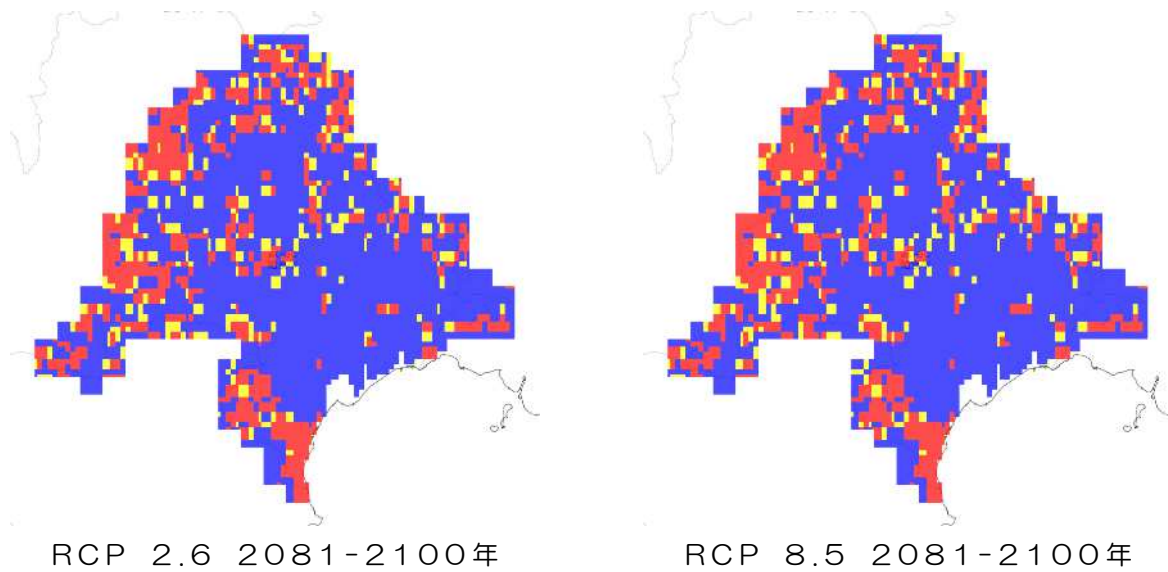
(出典)

[https://www.restec.or.jp/si-cat/\\_public/202003/SI-CAT%E6%88%90%E6%9E%9C%E9%9B%86%E5%8E%9F%E7%A8%BF%E9%9B%86\\_%E3%83%95%E3%83%AB\\_20200302.pdf](https://www.restec.or.jp/si-cat/_public/202003/SI-CAT%E6%88%90%E6%9E%9C%E9%9B%86%E5%8E%9F%E7%A8%BF%E9%9B%86_%E3%83%95%E3%83%AB_20200302.pdf)  
#page=40

(2) 山地

① 土石流・地すべり等

極端に降雨強度の大きい豪雨が今後増加する場合、被害の拡大が想定されます。  
土石流・地すべり等について、将来予測される影響を記載します。



斜面崩壊発生確率



斜面崩壊発生確率 凡例

(出典)

[https://www.restec.or.jp/si-cat/\\_public/202003/SI-CAT%E6%88%90%E6%9E%9C%E9%9B%86%E5%8E%9F%E7%A8%BF%E9%9B%86\\_%E3%83%95%E3%83%AB\\_20200302.pdf#page=42](https://www.restec.or.jp/si-cat/_public/202003/SI-CAT%E6%88%90%E6%9E%9C%E9%9B%86%E5%8E%9F%E7%A8%BF%E9%9B%86_%E3%83%95%E3%83%AB_20200302.pdf#page=42)



## 1.1.2 将来の影響

### (1) 暑熱

夏季の熱波の頻度が増加し、死亡率や罹患率に関する熱ストレスの発生が増加する可能性があることが予測されています。また、RCP8.5シナリオを用いた予測では、21世紀半ばには、熱中症搬送者数が2倍以上になることが予測されています。

#### (ア) 熱中症等

熱中症等について、将来予測される影響を記載します。



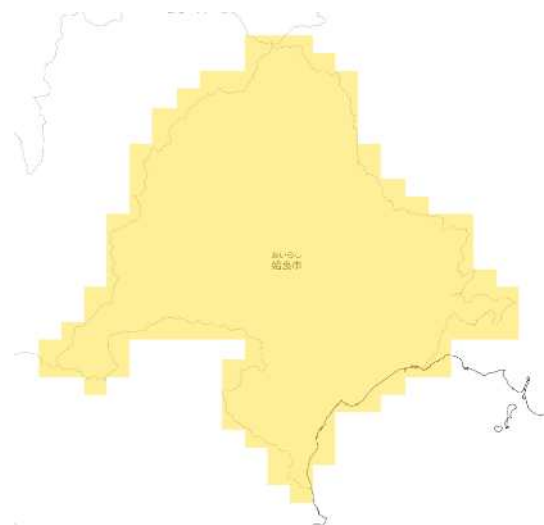
RCP 2.6 21世紀半ば



RCP 8.5 21世紀半ば



RCP 2.6 21世紀末

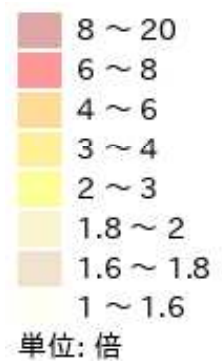


RCP 8.5 21世紀末

熱中症搬送者数

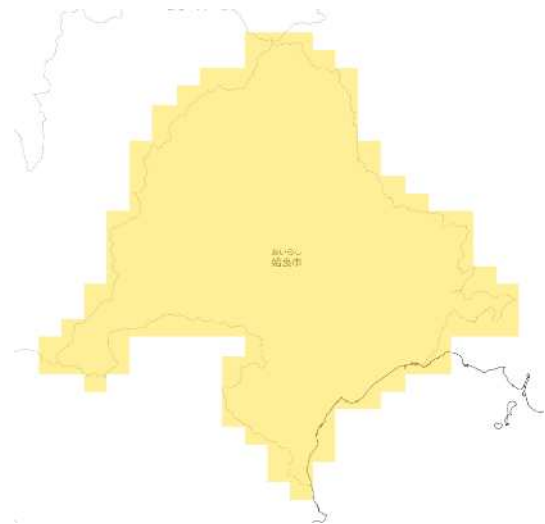
(出典)

[https://www.nies.go.jp/s8\\_project/symposium/20141110\\_s8br.pdf#page=12](https://www.nies.go.jp/s8_project/symposium/20141110_s8br.pdf#page=12)





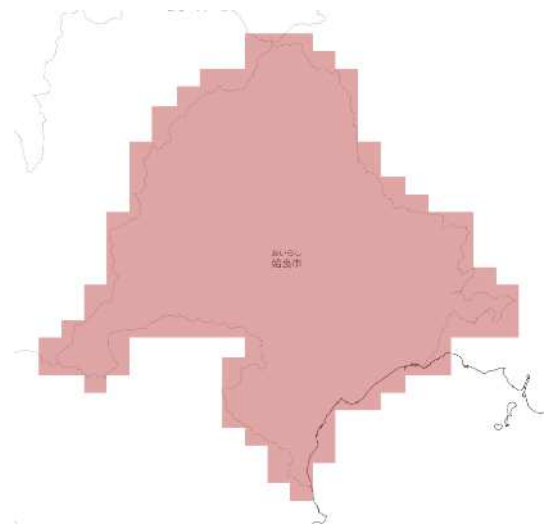
RCP 2.6 21世紀半ば



RCP 8.5 21世紀半ば

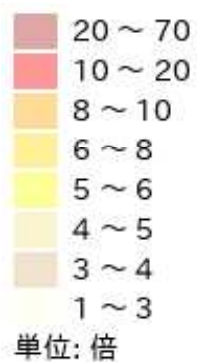


RCP 2.6 21世紀末



RCP 8.5 21世紀末

熱ストレス超過死亡数



熱ストレス超過死亡数 凡例

(出典)

[https://www.nies.go.jp/s8\\_project/symposium/20141110\\_s8br.pdf#page=12](https://www.nies.go.jp/s8_project/symposium/20141110_s8br.pdf#page=12)